

国立公害研究所 (正) ○文坪 国順
 京都大学 工学部 (正) 中川 博次
 臨海土木 K.K. (正) 池添 俊夫

1. まえがき 本研究は静水中および流水中を比較的粒径の大なる粒子が單一もしくは複数で落下する場合の床面における分布特性や落下中の粒子の挙動を実験的に検討し、また粒子の挙動に対する簡単なモデル化を行ない、実験結果を定性的に説明したものである。

2. 実験条件および実験方法 床面における粒子の分布特性を検討するため、採砂箱によって区分される方法と粒子をストロボ撮影する方法を用いた。実験に用いた粒子は直径5mmと7mmのビーズ(B-5, B-7)、平均粒径4.5mmの砂粒(G)、直径5mmの鐵球(I-5)である。ストロボ撮影の場合の水理条件を表-1に示す。この場合のピンセット單一投下のみである。採砂箱を用いて場合、水理条件として水深Hを20, 35, 50(cm)の3種類、断面平均流速u₀を0, 10.0, 15.2, 25.3(cm/s)の4種類変えて系統的な実験を行なった。投下方法はピンセット單一投下とバケット投下(一度に落下する個数を10個)の2種類である。

3. 粒子の沈降速度と抗力係数 静水中の粒子の沈降速度w₀はB-5で49.7cm/s、B-7で56.6cm/s、Gで32.6cm/s、I-5で10.5cm/sである。表-1に流水中の粒子の沈降速度w₀とw₀/d²を示す。w₀とw₀/d²は逆比例して減少する傾向が認められる。表-1のC_Dとw₀から逆算される抗力係数であり、静水中では、球が0.38、砂粒が0.90の結果が得られた。

4. 粒子の分布特性 粒子の床面での分布は正規分布と見なしうることがわかった。以下、議論では正規分布とみなした場合の値を採用し、サインズルをつけて表わすことにする。

4-1. 平均流下距離X_mの特性 X_mは粒子の投下方法や落下個数によらず影響せず、X_m/d = (w₀)/(H/d) - (1) の関係が認められる。図-1はストロボ撮影の場合の結果であるが、式(1)が成立し、落下粒子は平均的に静止水流と同じ速度で流水方向へ流下していることがわかる。

4-2. 標準偏差DX_mの特性 DX_mは投下方法や粒子の種類によらずほぼ一定の特性を示す。ピンセットと3單一投下の場合、DX_m = w₀/(H/d)の関係が認められる。球の場合は、DX_m/d = a₁(w₀·H/d)^{1/4} - (2)、砂粒の場合は、DX_m/d = (w₀)^{1/4}(H/d)^{1/4} - (3) (a₁, a₂: 定数)である。

バケット投下(10個)の場合には、図-2aに示すように、ビーズの場合にはDX_m/d = a₃(w₀·H/d)^{1/4} - (4)、砂粒の場合にはDX_m/d = a₄(w₀·H/d)^{1/4} - (5) (a₃, a₄: 定数)の関係が認められる。図-3および図-4はストロボ撮影による場合の落下中の粒子のDX_mの特性を示したもので、ピンセット單一投下の場合の関係式(2)及び(3)が成立していることが認められる。

表-1

Run	<u>u</u> ₀ (cm/s)	H(cm)	d(mm)	N	w _f /w ₀	C _D	
F-1	10.0	20.0	Bead 5.0	15	0.91	0.45	
F-2	15.2				0.90	0.46	
F-3	25.3				0.91	0.45	
F-4	10.0	50.0		150	0.91	0.45	
F-5	15.2				0.90	0.45	
F-6	25.3				0.89	0.47	
F-7	10.0	Grav. 4.5		15	0.92	1.02	
F-8	15.2				0.96	0.94	
F-9	25.3				0.94	1.00	
F-10	10.0	50.0		130	0.97	0.95	
F-11	15.2				150	0.95	
F-12	25.3				160	0.95	
F-13	25.3	50.0	B-7	130	0.95	0.44	
F-14	25.3	50.0	I-5	20	0.91	0.47	

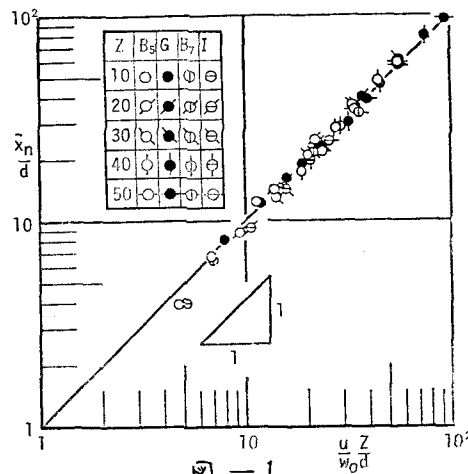


図-1

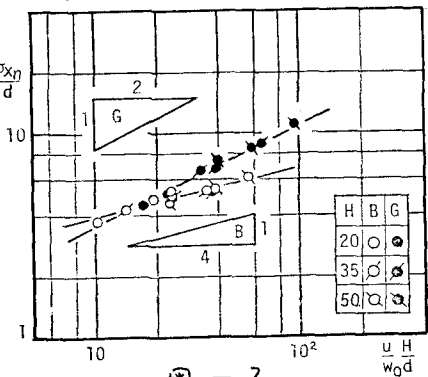


図-2

5. 分布特性と実験的考察 ストロボ撮影によって得られた落下粒子の軌跡を参考に、粒子の落下挙動を図-5のように模式化する。印の実線は何らかの影響で軌跡の方向が変化したものである。粒子が変曲点 t_i からしまで移動するに要する時間 T_i は $T_i = h_i/w_0$ で与えられる。また、4-1で述べた結果から、粒子が鉛直に h_i 落下する間に流れ方向に平均的に $h_i w_0$ 流下する。しかし、実際には後流渦等の影響でバラツキが生じる。そのバラツキを ΔX_i とすると、 ΔX_i は次式で与えられる。 $\Delta X_i = X_i' - u \cdot h_i / w_0 - (6)$ および1つの粒子が水面から鉛直に h_i 落下する時の流下距離 $X(z)$ の次式で与えられる。 $X(z) = \sum_{i=1}^{N(t)} X_i = u \cdot \frac{z}{w_0} + \sum_{i=1}^{N(t)} \Delta X_i - (7)$ 。ここで $N(t)$ は粒子が z にかけ落下回数であり、 $t = z w_0$ である。いま $\Delta X = \sum_{i=1}^{N(t)} \Delta X_i$ とすると、 $X(z)$ の平均値および分散は次のようく表わされる。

$$\text{平均値: } E(X(z)) = E(u \cdot \frac{z}{w_0}) + E(\Delta X) \quad - (8)$$

$$\begin{aligned} \text{分散: } V(X(z)) &= E(X^2(z)) - E^2(X(z)) \\ &= E((u \cdot \frac{z}{w_0})^2 + 2(u \cdot \frac{z}{w_0}) \cdot \Delta X + \Delta X^2) - E^2(X(z)) \end{aligned} \quad - (9)$$

$X(z)$ の平均値、および分散の特性を明らかにするために ΔX の統計的性質を明らかにする必要がある。 $N(t)$ と ΔX_i は独立な確率変数であるので ΔX_i は複合過程となる。粒子の軌跡が ΔX_i によって $\Delta X_i'$ に対して2つの仮定を設ける。① 粒子の軌跡上に ΔX_i を有する点と $\Delta X_i'$ の正負が交互に起る。② 各々の中の大きさは互いに独立である。この仮定をもとに、中性体正負または負正が起ることを表す一事象の大きさを Z_i とすと、 $Z_i = Z_i^+ - Z_i^-$ (Z_i^+ : 正方向のもの、 Z_i^- : 負方向のもの) で表わされる。図-6 は Z_i^+ , Z_i^- の分布の一例を示す。 Z_i^+ と Z_i^- ほぼ同じ分布形をもつて表わされる。よって $E(Z_i) = E(Z_i^+) - E(Z_i^-) = 0$ (10), $V(Z_i) = V(Z_i^+) + V(Z_i^-) = 2V(Z_i^+) - (11)$ である。一方、下が独立の変数であるとすると、 $N(t)$ は再生過程である。再生過程の理論によれば $t \rightarrow \infty$ (or $t \rightarrow \infty$)において、 $E(N(t)) = t/E(T_i) \propto t$ が成立すること、さら $N(t)$ の分布が正規分布であることが知られる。図-7 は $N(t)$ の分布の一例である。假定により一事象の中の発生回数 $N_i(t)$ は $N_i(t) = \frac{1}{Z} N(t)$ であるので、 $E(N_i(t)) = \beta Z$ ($Z \rightarrow \infty$) - (12) である。ここで β : 定数。以上の結果から ΔX の平均値、分散は次のようく表わされる。

$$\text{平均値: } E(\Delta X) = E(N_i(t)) \cdot E(Z_i) = 0 \quad (\because E(Z_i) = 0) - (13) \quad \text{分散:}$$

$$V(\Delta X) = E(\Delta X^2) - E^2(\Delta X) = E(N_i(t)) V(Z_i) = \beta V(Z_i) Z \quad - (14) \quad \text{いま、}$$

球のように個々の粒子の w_0 が等しいと考えられる場合には W_0 が定数となるので、

$X(z)$ の平均値と分散、式(13)、式(14)を代入して次のようになる。 平均値:

$$E(X(z)) = u \cdot \frac{z}{w_0}, \quad \text{分散: } V(X(z)) = V(\Delta X) = \beta V(Z_i) Z \quad \text{である。} \quad \text{これらの関係式をコンセット单一投下の際の実験結果を説明している。} \quad E(N_i(t)) \quad \text{は後}$$

流湍が深い場合があると考へられる。表-2 は各実験ケースにおける $\bar{N}_i(t)$ の値と

その値から求められたストローハル数を示したものである。 $N_i(t)$ と T_i と密接な

関係をもつていて、 $[T_i]$ と (Z_i) の統計的性質の解明が今後の課題である。

また、ここで説明は省略したが、砂粒についての分布特性やバケット投下の

場合の分布特性と上述の考え方を延長すれば可能である。

参考文献： 池添俊夫：昭和53年度京都大学工学部卒業研究

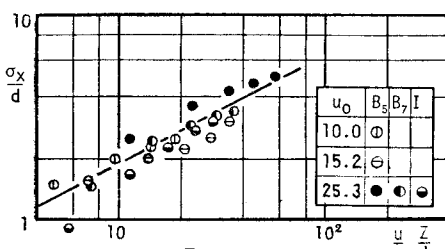


図-3

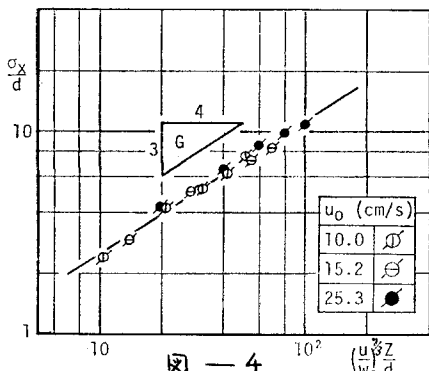


図-4

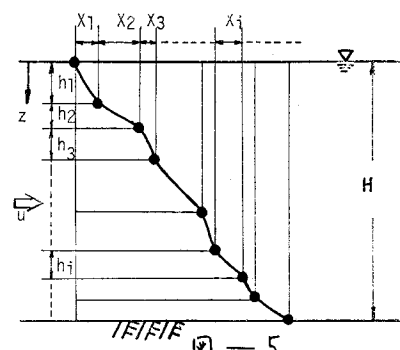


図-5

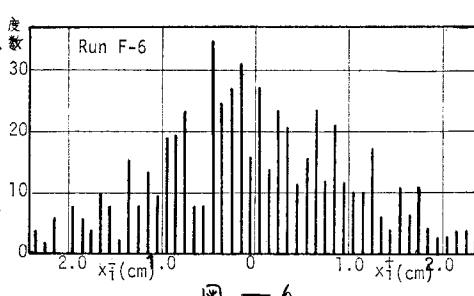


図-6

表-2

Run	Part	i	ē	\bar{N}_i	St	Re
F-4	B-5			2.45	.025	2260
F-5	B-5			2.48	.025	2250
F-6	B-5			2.52	.025	2220
F-10	G			3.44	.03	1430
F-11	G			2.82	.026	1410
F-12	G			3.26	.029	1390
F-13	B-7			1.99	.028	3790
F-14	I-5			1.57	.016	4840

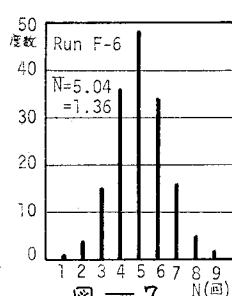


図-7